
МОДЕЛИРОВАНИЕ ВОЛНОВЫХ ПРОЦЕССОВ В АНИЗОТРОПНЫХ УПУГИХ СРЕДАХ

Афони́на Е. В., Вишне́вский Д. М., Горшка́лев С. Б., Карстен В. В.,
Лисица В. В., Чеверда В. А.

Институт нефтегазовой геологии и геофизики СО РАН,
Новосибирск

Актуальность

Анизотропия в сейсмике:

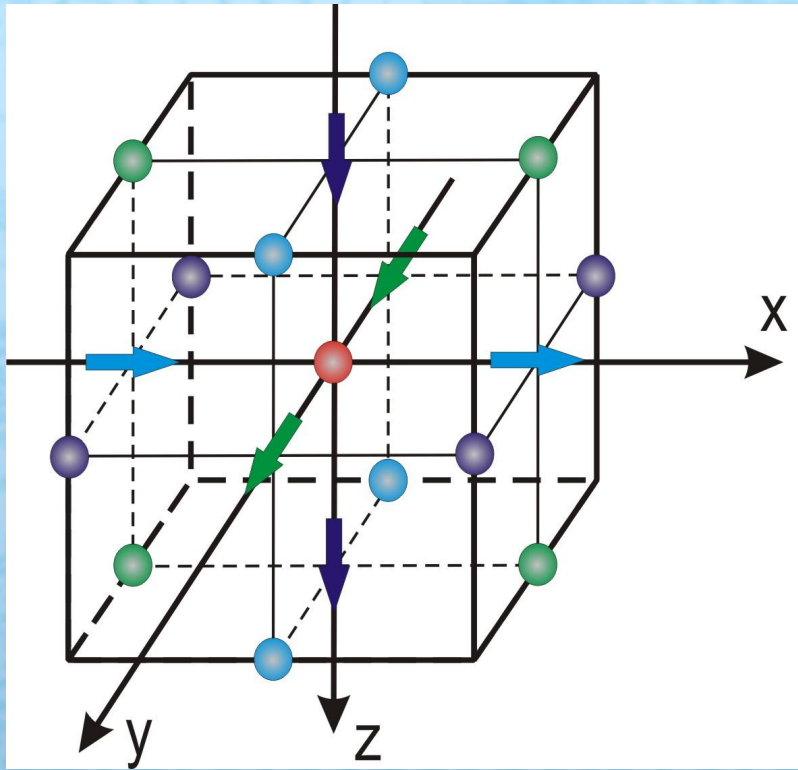
- Трещиноватые карбонатные коллекторы;
- Топкослоистые пачки;
- Предварительные напряжения (в окрестности скважин, вблизи соляных тел и пр.).

Анизотропия может выступать как косвенный признак:

- Ориентации трещин (AVO, AVA analysis);
- Концентрации трещин;
- Состава флюида в трещиноватом пространстве и пр.

Выбор метода

$$\begin{pmatrix} \sigma_{xx} \\ \sigma_{yy} \\ \sigma_{zz} \\ \sigma_{yz} \\ \sigma_{xz} \\ \sigma_{xy} \end{pmatrix} = \begin{pmatrix} c_{11} & c_{12} & c_{13} & 0 & 0 & 0 \\ c_{12} & c_{22} & c_{23} & 0 & 0 & 0 \\ c_{13} & c_{23} & c_{33} & 0 & 0 & 0 \\ 0 & 0 & 0 & c_{44} & 0 & 0 \\ 0 & 0 & 0 & 0 & c_{55} & 0 \\ 0 & 0 & 0 & 0 & 0 & c_{66} \end{pmatrix} \begin{pmatrix} \varepsilon_{xx} \\ \varepsilon_{yy} \\ \varepsilon_{zz} \\ \varepsilon_{yz} \\ \varepsilon_{xz} \\ \varepsilon_{xy} \end{pmatrix}$$



ная схема на сдвинутых сетках

● $(\sigma_{xx})_{ijk}^{n+1/2}$, $(\sigma_{yy})_{ijk}^{n+1/2}$, $(\sigma_{zz})_{ijk}^{n+1/2}$,

● $(\sigma_{yz})_{ij+1/2k+1/2}^{n+1/2}$

● $(\sigma_{xz})_{i+1/2jk+1/2}^{n+1/2}$

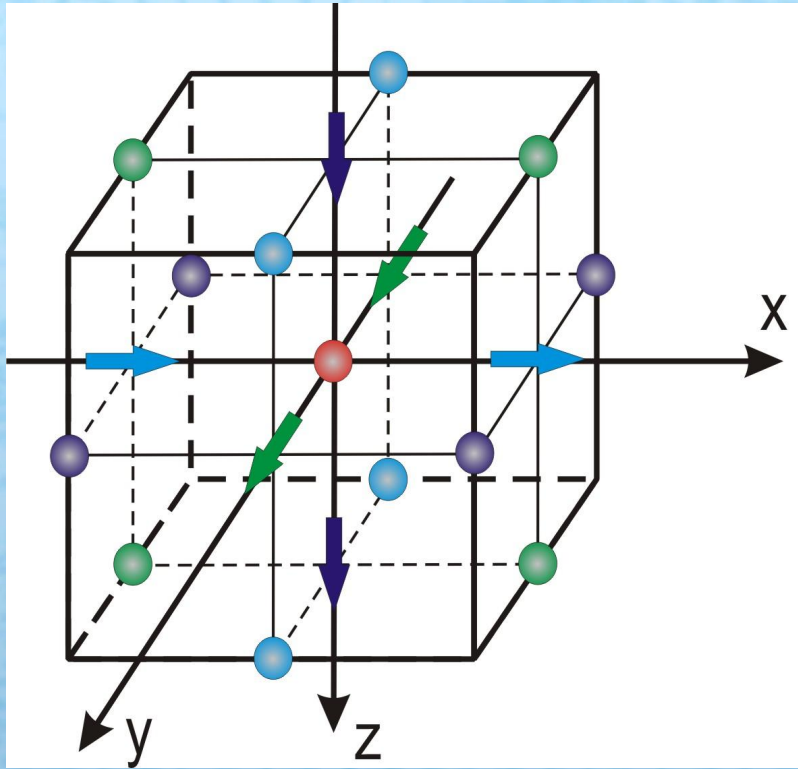
● $(\sigma_{xy})_{i+1/2j+1/2}^{n+1/2}$

→ $(u_x)_i^n$

↘ $(u_y)_{ij+1/2}^n$

↓ $(u_z)_{ijk+1/2}^n$

$$\frac{\partial \sigma_{xx}}{\partial t} = c_{11} \frac{\partial u_x}{\partial x} + c_{12} \frac{\partial u_y}{\partial y} + c_{13} \frac{\partial u_z}{\partial z}$$



ная схема на сдвинутых сетках

● $(\sigma_{xx})_{ijk}^{n+1/2}$, $(\sigma_{yy})_{ijk}^{n+1/2}$, $(\sigma_{zz})_{ijk}^{n+1/2}$,

● $(\sigma_{yz})_{ij+1/2k+1/2}^{n+1/2}$

● $(\sigma_{xz})_{i+1/2jk+1/2}^{n+1/2}$

● $(\sigma_{xy})_{i+1/2j+1/2}^{n+1/2}$

→ $(u_x)_{i+1/2jk}^n$

↘ $(u_y)_{ij+1/2k}^n$

↓ $(u_z)_{ijk+1/2}^n$

$$\frac{\partial \sigma_{xx}}{\partial t} = c_{11} \frac{\partial u_x}{\partial x} + c_{12} \frac{\partial u_y}{\partial y} + c_{13} \frac{\partial u_z}{\partial z} + c_{14} \left(\frac{\partial u_z}{\partial y} + \frac{\partial u_y}{\partial z} \right) + c_{15} \left(\frac{\partial u_z}{\partial x} + \frac{\partial u_x}{\partial z} \right) + c_{16} \left(\frac{\partial u_x}{\partial y} + \frac{\partial u_y}{\partial x} \right)$$

Схема Лебедева

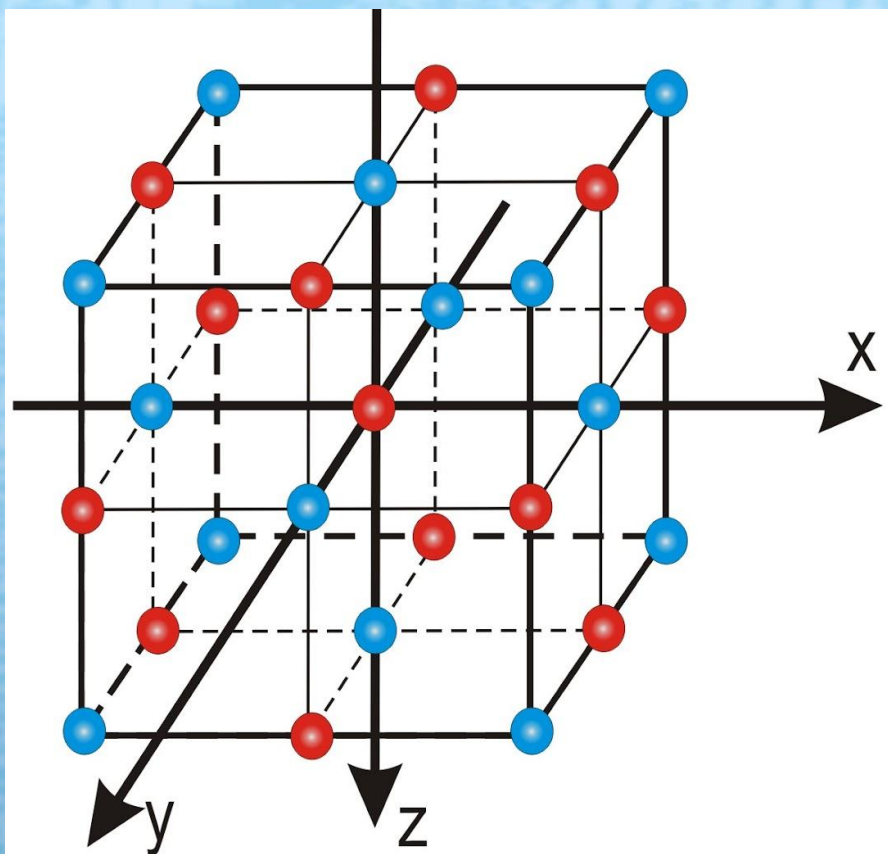


Схема Лебедева и схема на повернутых сетках

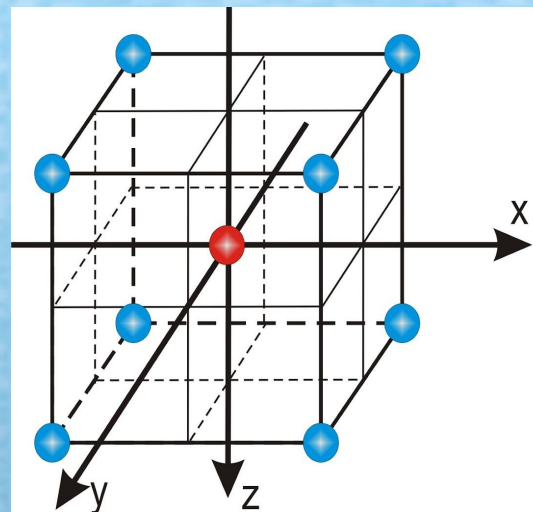
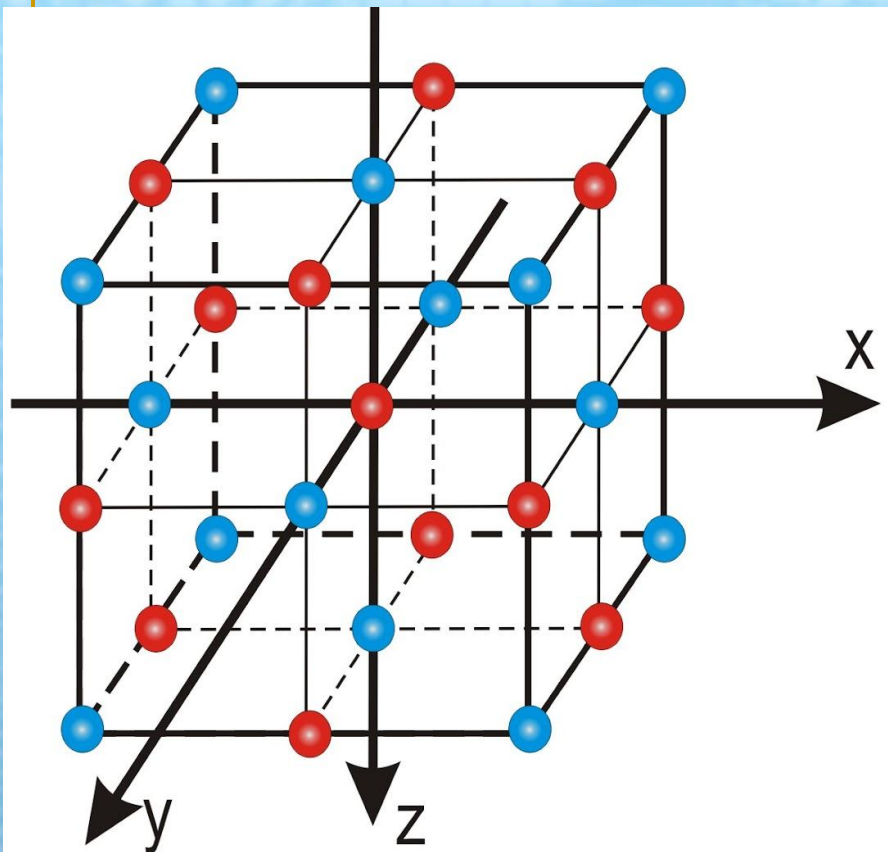
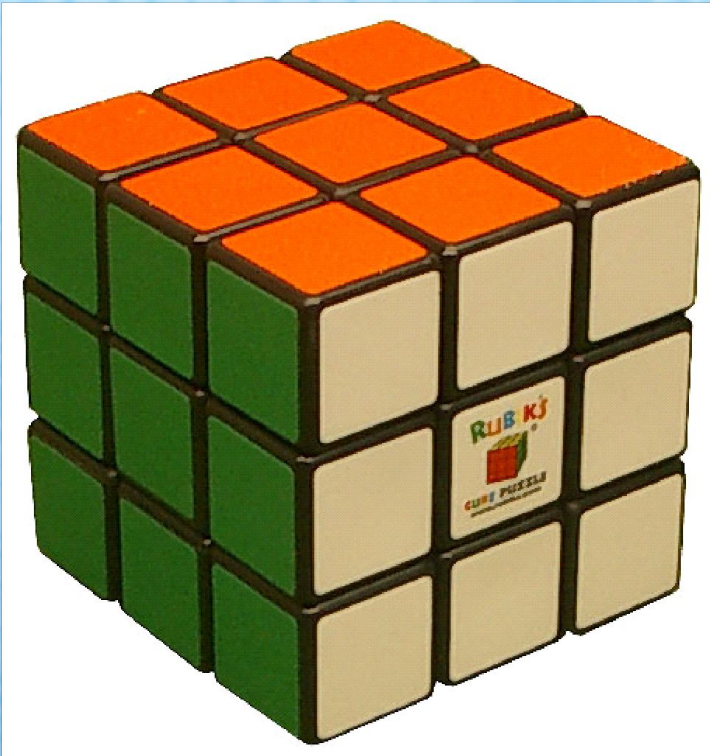
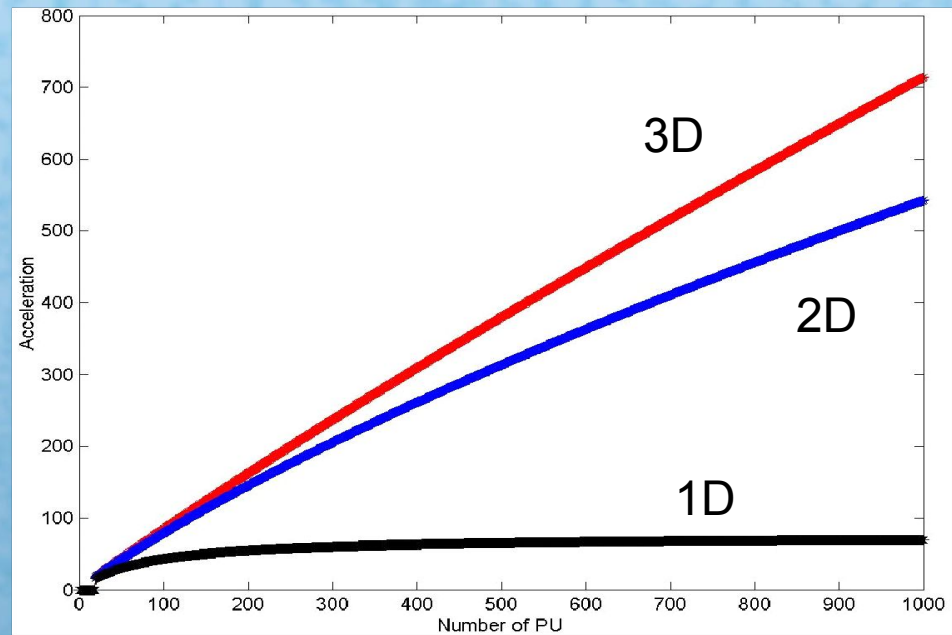


Схема Лебедева, как минимум, на 30% экономичнее схемы на повернутых сетках!

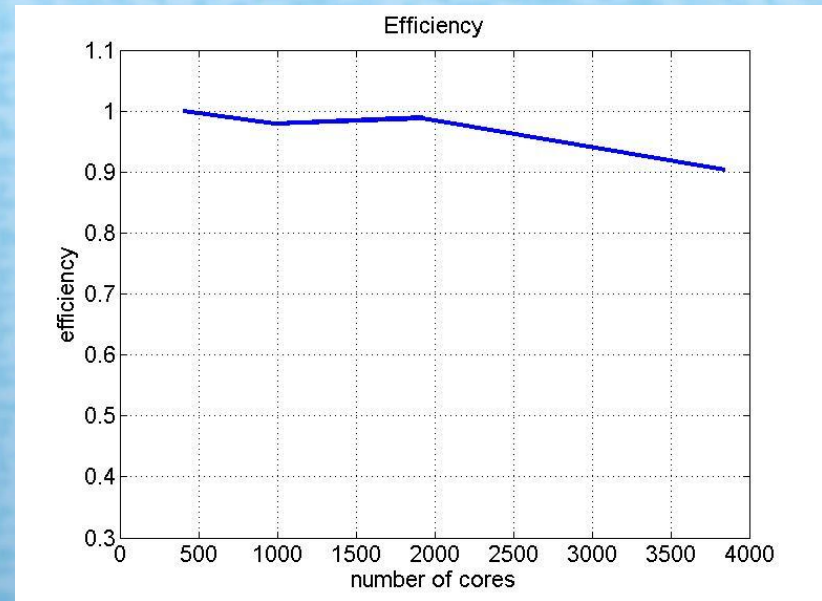
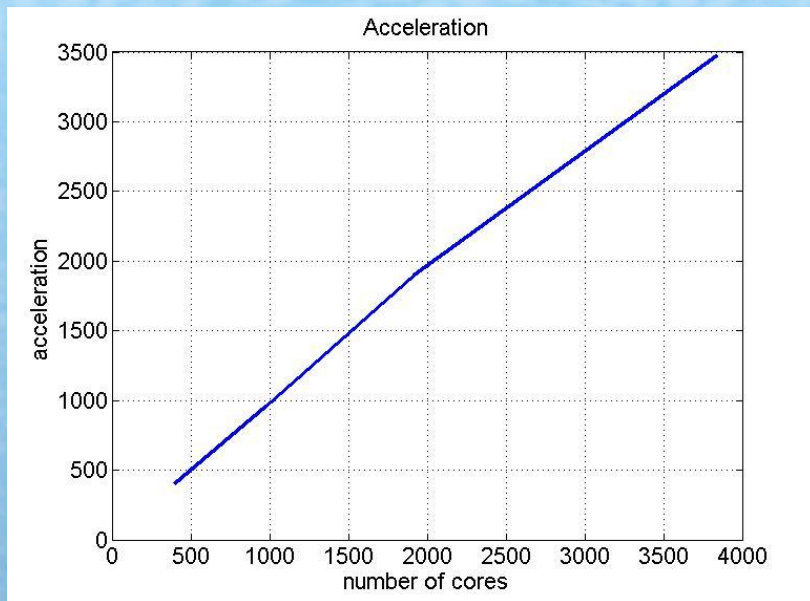
Параллельная реализация



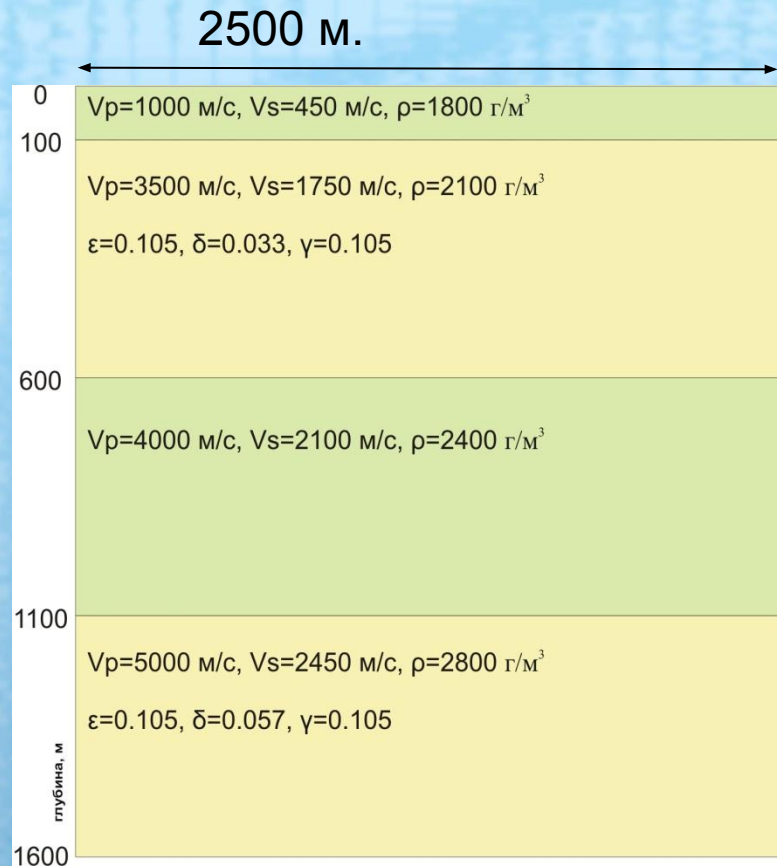
- Трехмерная декомпозиция расчетной области;
- Неблокирующие процедуры обмена: `Isend`, `Irecv`;
- Параллельные I/O процедуры: MPI I/O



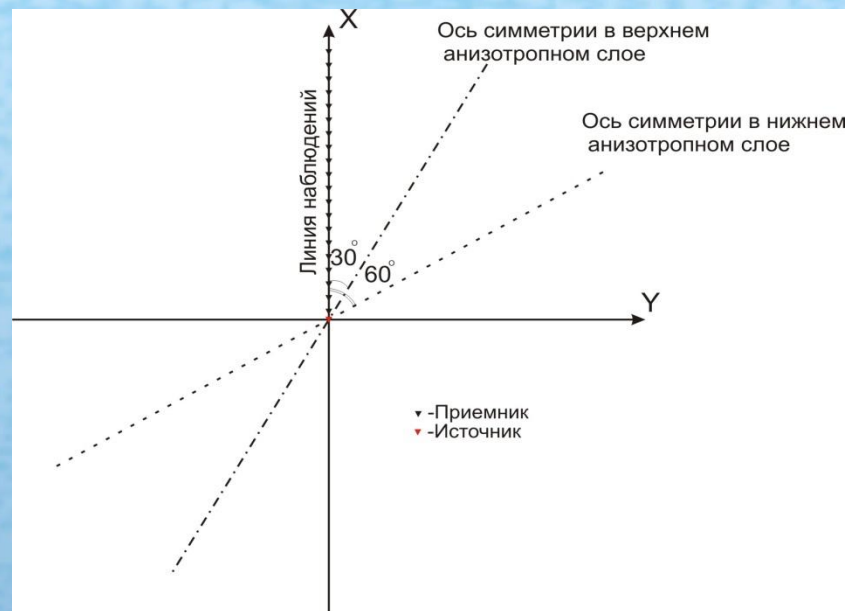
Эффективность и ускорение



Упрощенная модель Юрубчено-Тохомской зоны



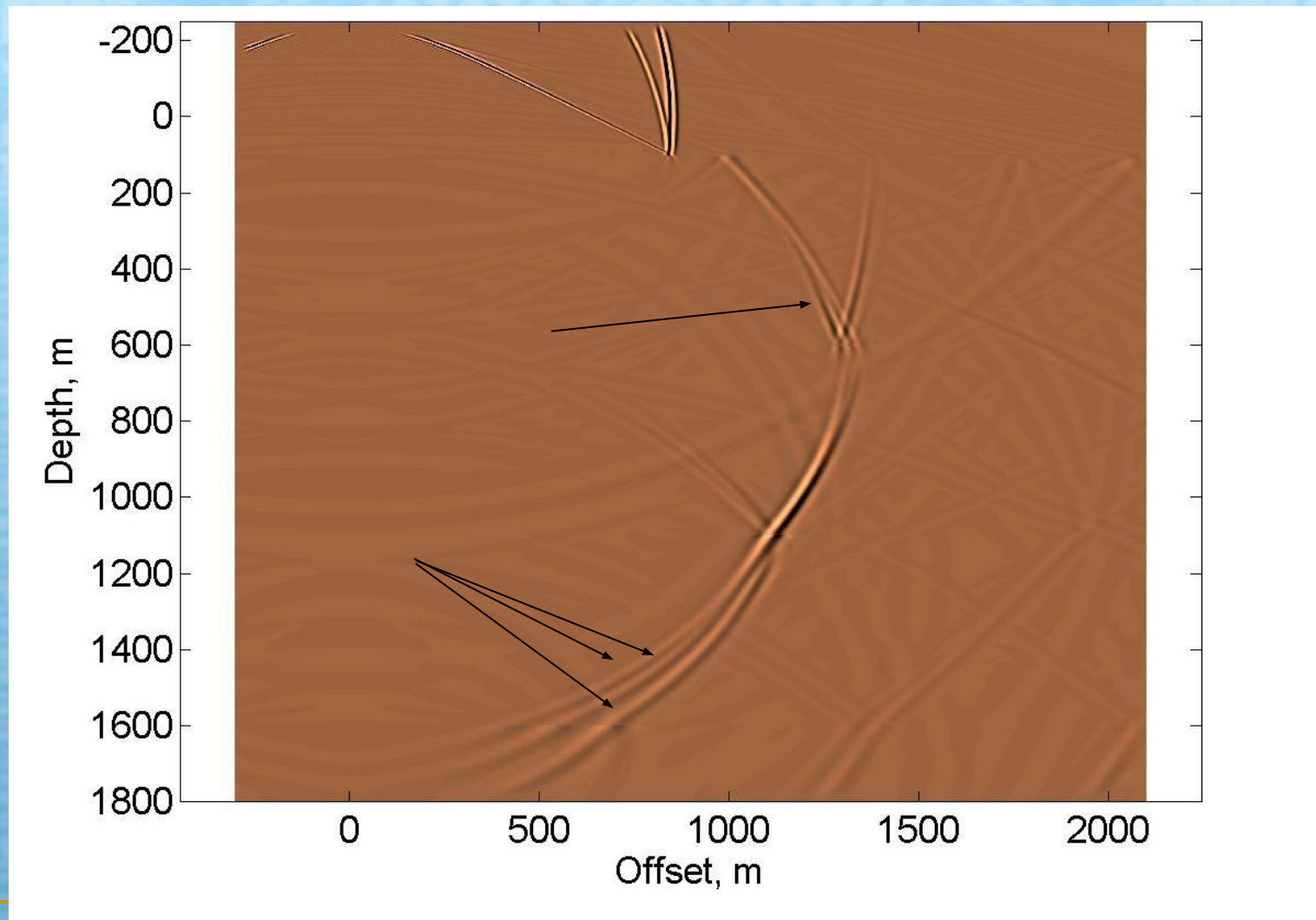
Модель - горизонтально-слоистая среда с двумя трансверсально-изотропными слоями, направления осей симметрии в которых горизонтальны и составляют с осью X углы 30° и 60° .



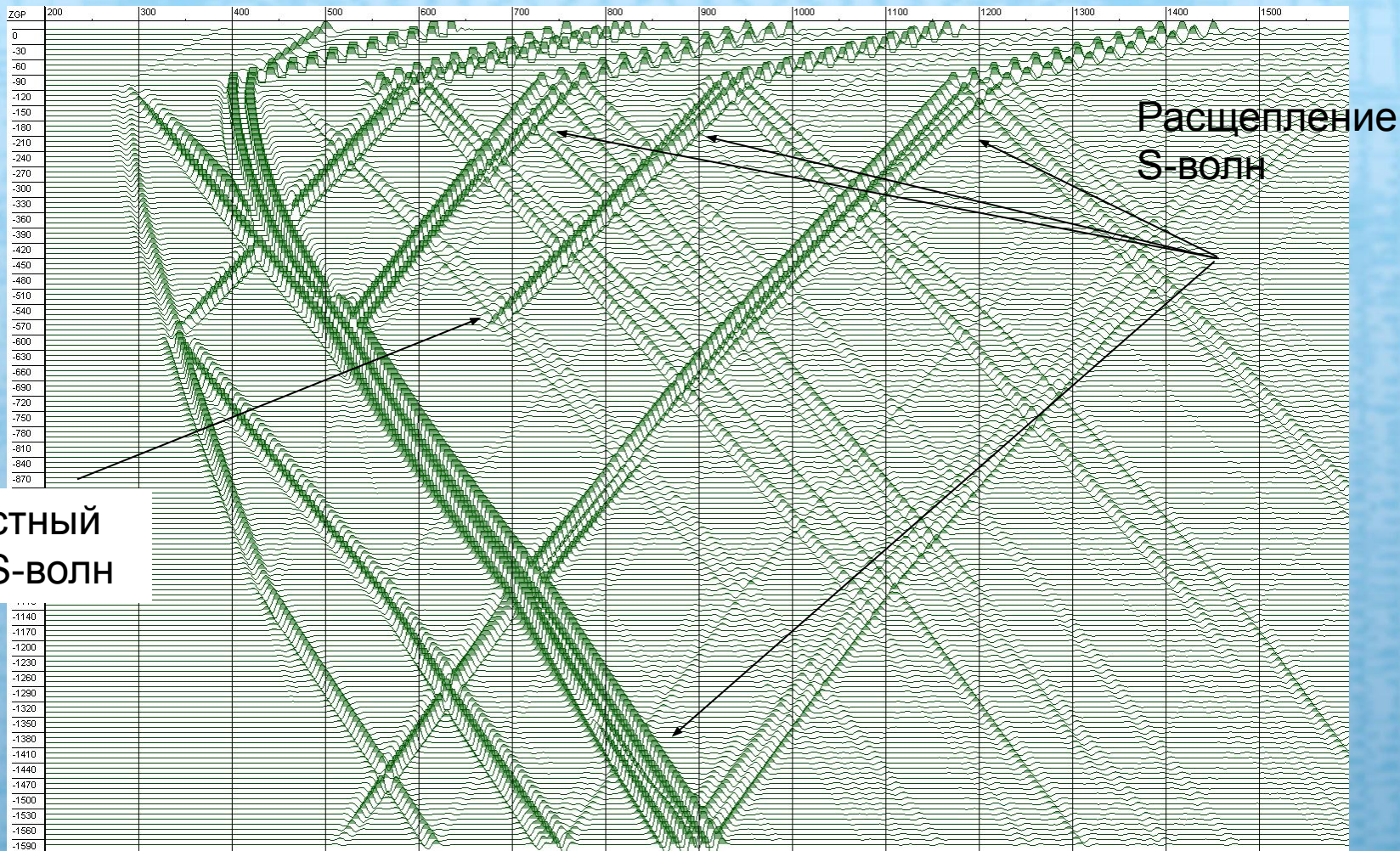
Дискретизация 1 метр (10 точек на длину волны),

Общий объем RAM – 4 Tb!

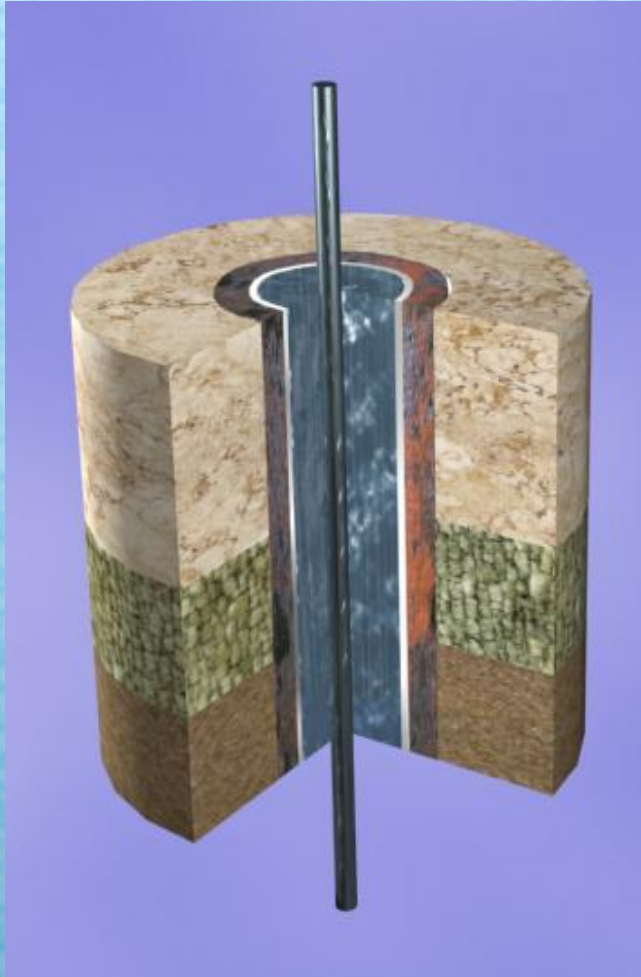
Упрощенная модель Юрубчено-Тохомской зоны



Упрощенная модель Юрубчено-Тохомской зоны, сейсмограмма VSP



Акустический каротаж



Основные особенности:

Анизотропная вмещающая среда;

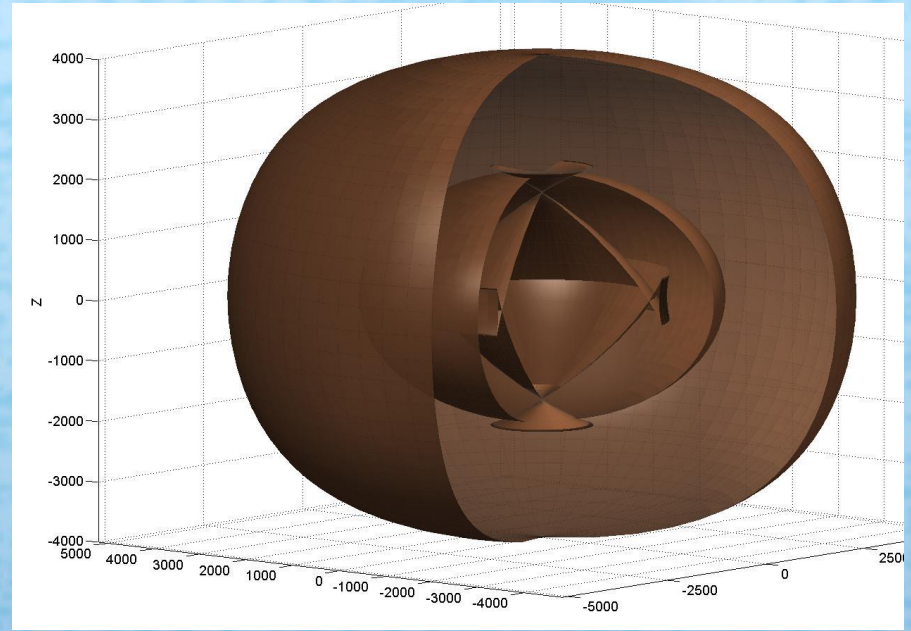
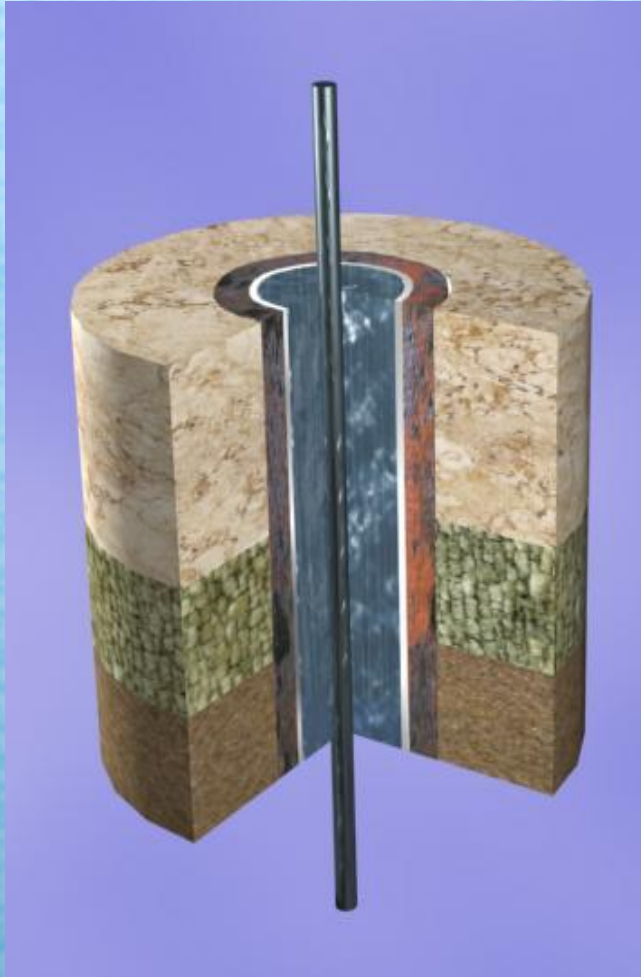
Цилиндрическая система координат;

Применение схемы Лебедева;

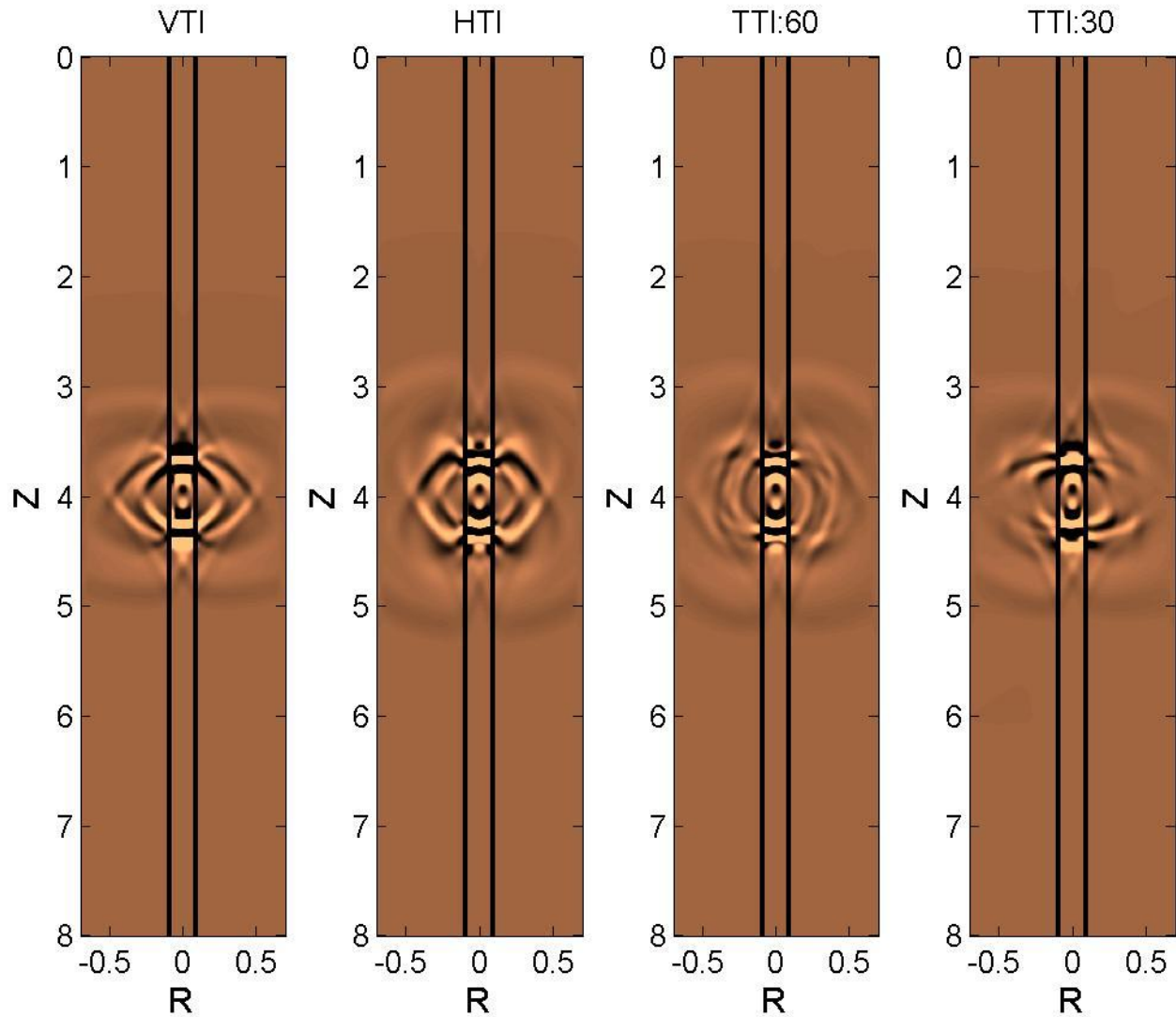
Параллельная реализация на основе декомпозиции расчетной области;

Периодическое азимутальное измельчение сетки для компенсации увеличения шага сетки;

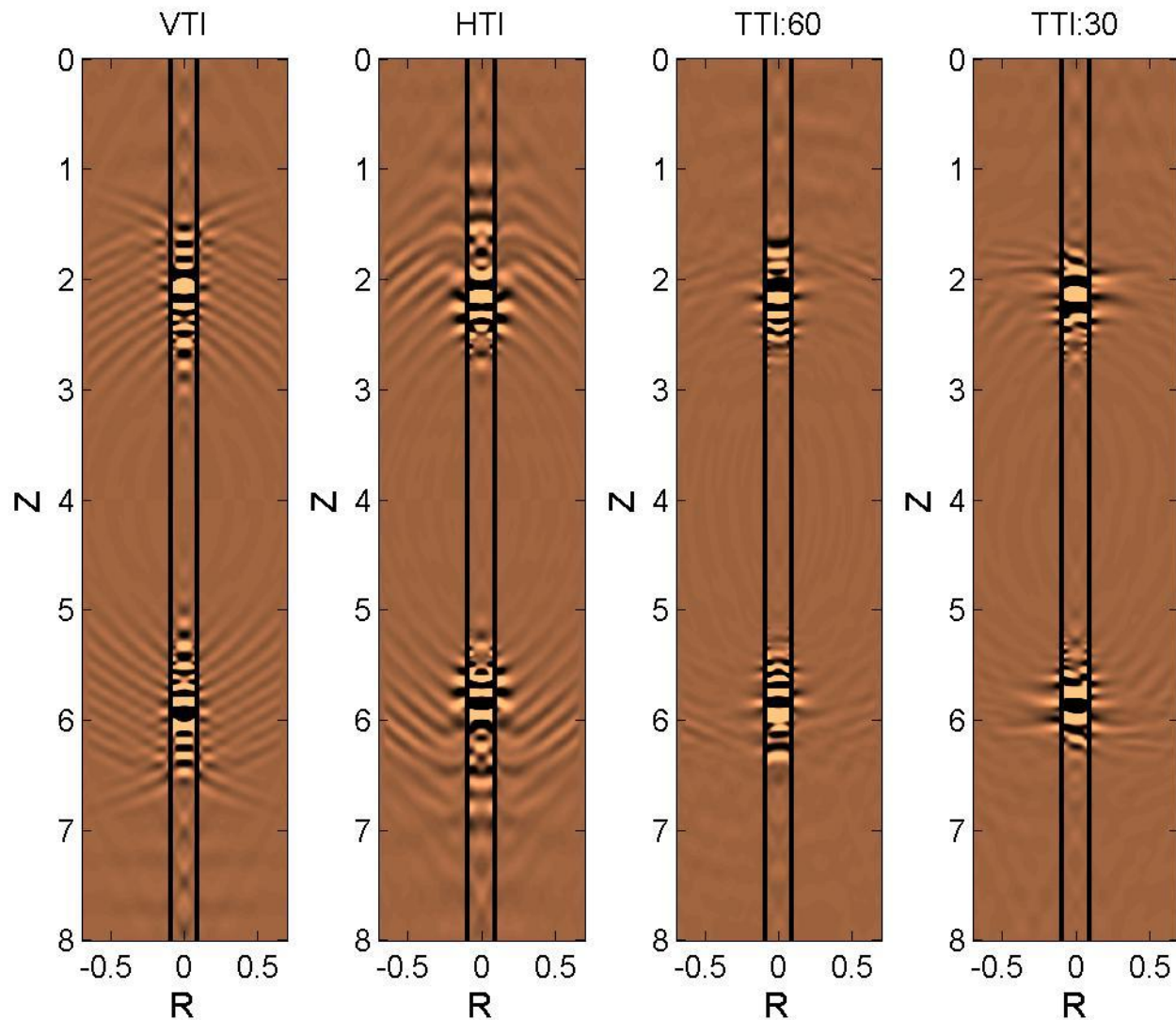
Акустический каротаж



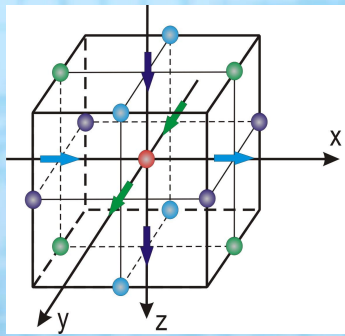
Акустический каротаж



Акустический каротаж



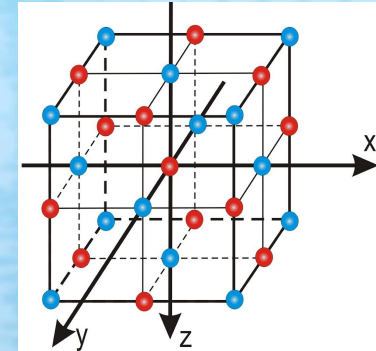
Гибридный алгоритм



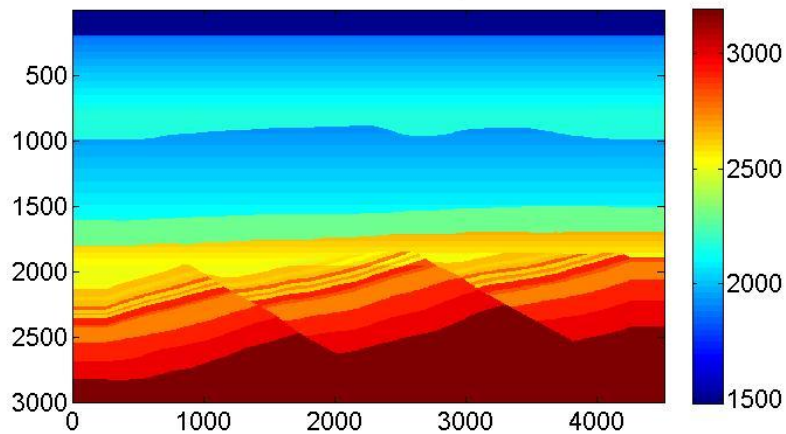
SSGS

LS

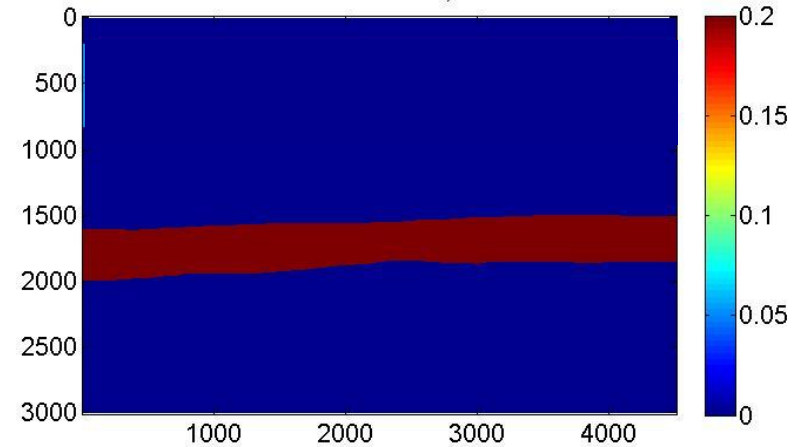
Увеличение
требований на
вычислительные
ресурсы в **пять** раз!



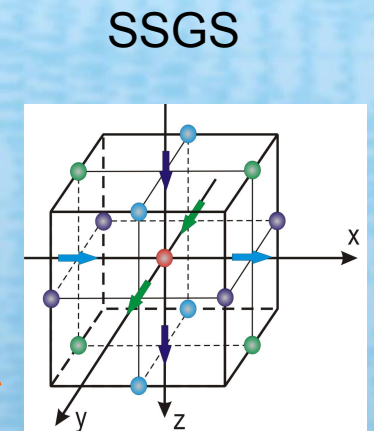
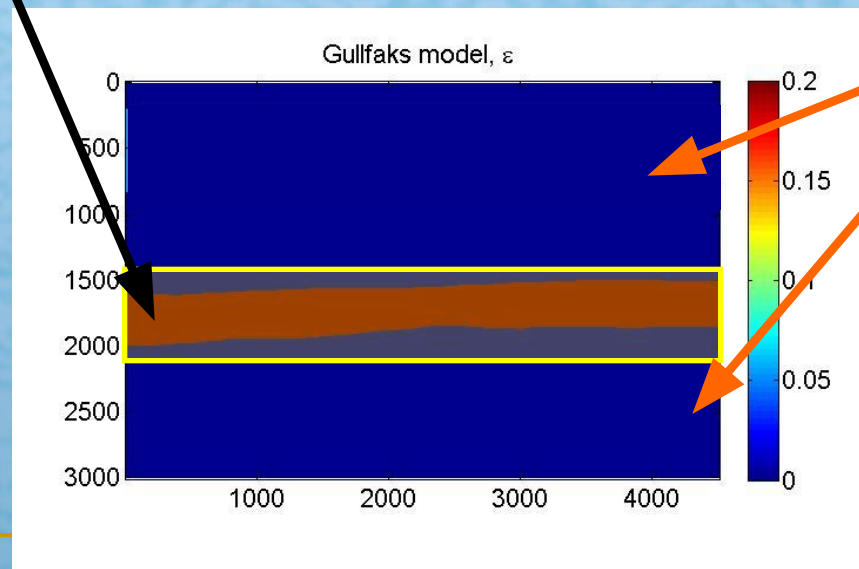
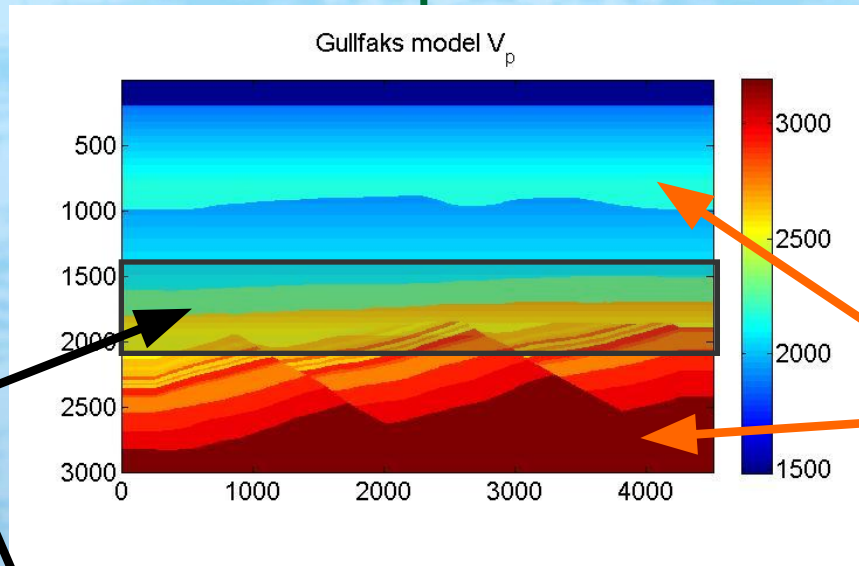
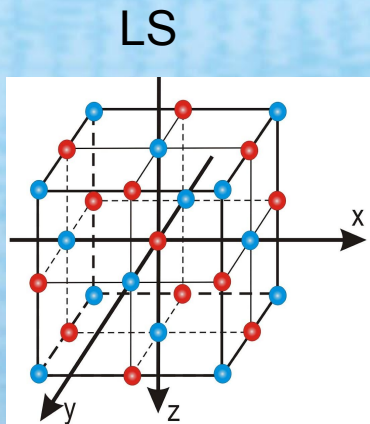
Gullfaks model V_p



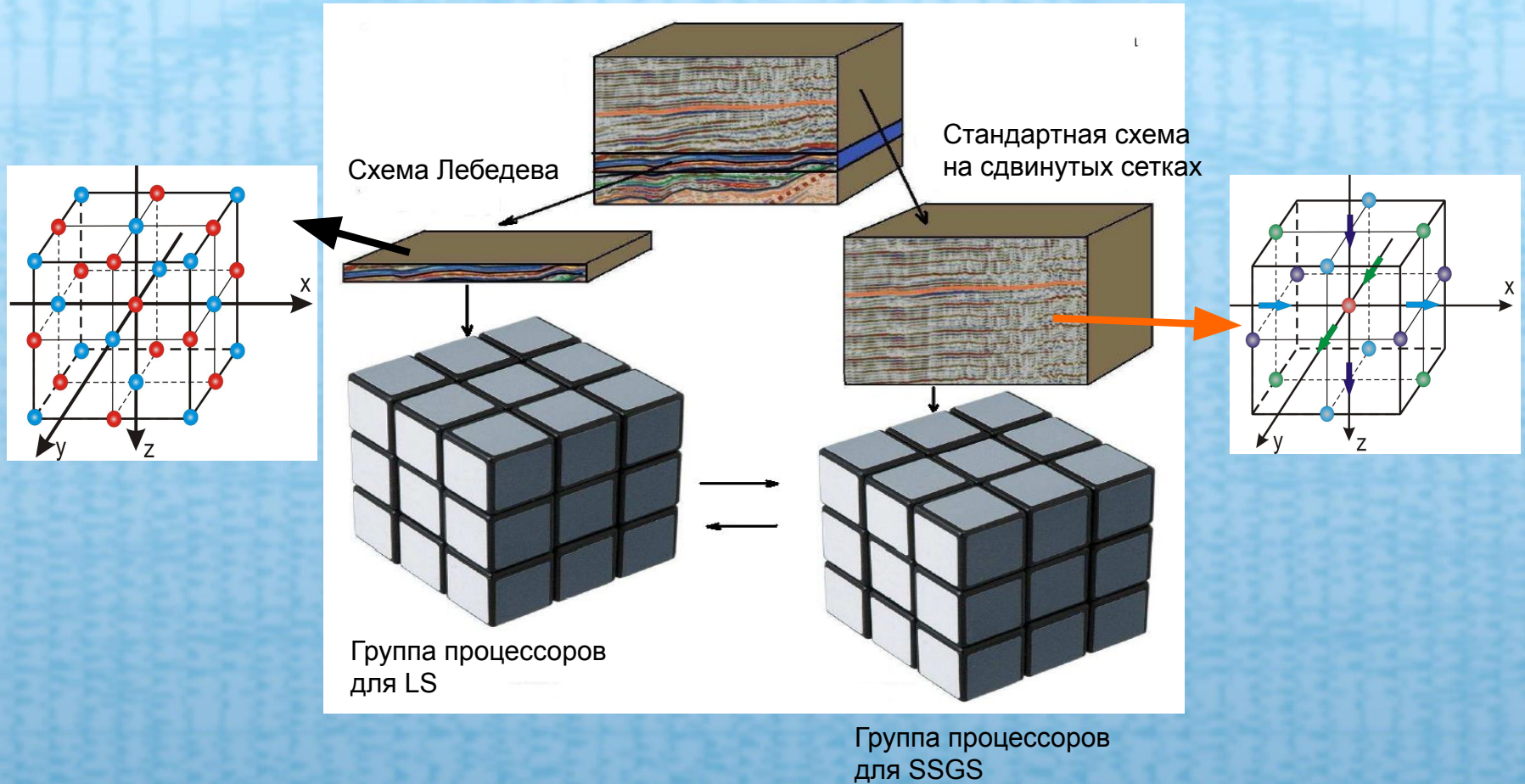
Gullfaks model, ϵ



Гибридный алгоритм

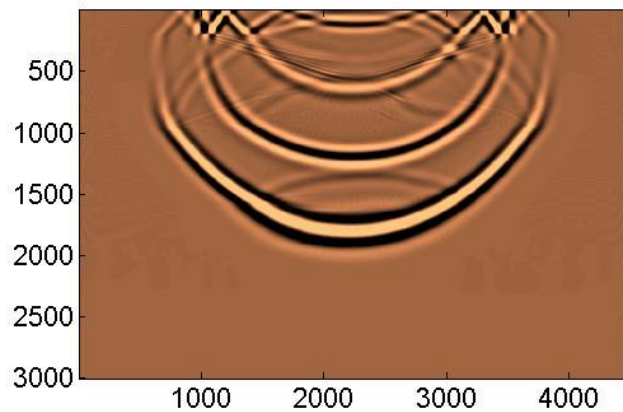


Гибридный алгоритм

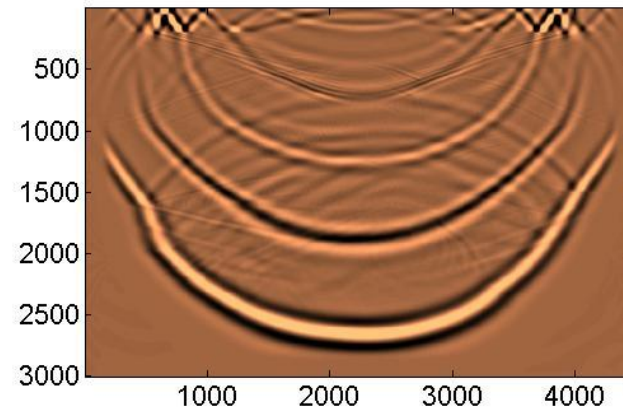


Гибридный алгоритм

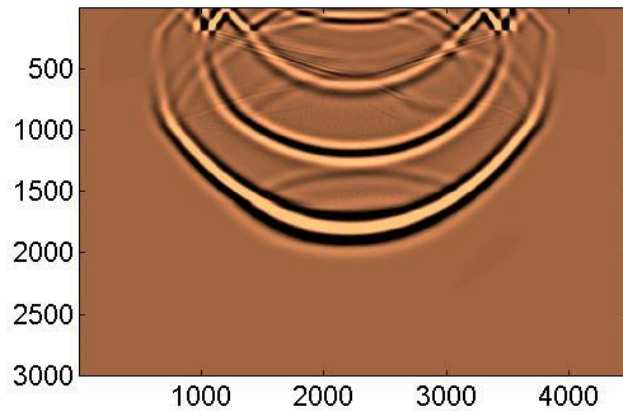
Coupling, $t=0.9s$



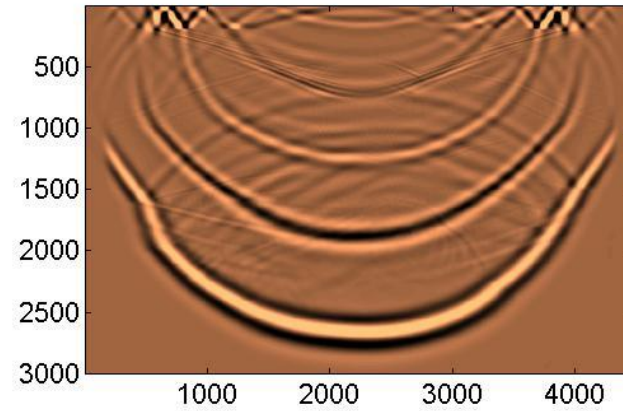
Coupling, $t=1.2s$



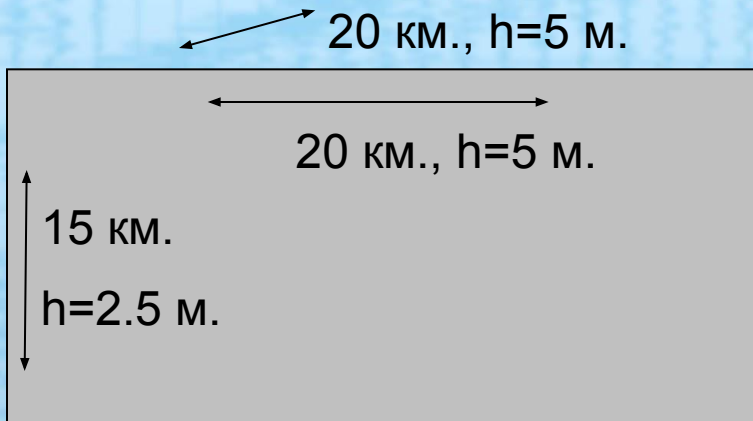
Lebedev, $t=0.9s$



Lebedev, $t=1.2s$



Потребности в вычислительных ресурсах



	Число ядер
Изотропная упругая модель (3+9) 12 параметров	4000
Анизотропная упругость (22+36) 58 параметров	15000
Гибридный алгоритм 20% анизотропии	6500
Анизотропная вязкоупругость (64+84) 148 параметров	45000

Заключение

Разработаны и реализованы алгоритмы моделирования волновых процессов в анизотропных средах для задач поверхностной сеймики, VSP, cross-well, акустического каротажа.

- параллельная реализация на основе расщепления по пространственным подобластям;
- используются неблокирующие процедуры lsend, lrecv
- эффективность порядка 90 %

Разработан гибридный алгоритм моделирования волновых полей в средах, содержащих анизотропные включения, что позволяет экономить до 80% вычислительных ресурсов.

Планы

- Учет рельефа свободной поверхности с применением гибридного алгоритма;
- Разработка гибридного алгоритма для вязкоупругих моделей;
- Построение, верификация и определение границ применимости «эффективных» макроскоростных моделей трещиноватых резервуаров.

Спасибо за
внимание
